

آنالیز رخساره‌ها و محیط رسوی سازند جیروود در برش گرمابدر واقع در البرز مرکزی: با تاکید بر شرایط اکسیداسیون-احیای دیرینه طی نهشت شیل‌های سیاه

ناهید کریمی^۱، نجمه اعتمادسعید^(۲)، نارام بایت گل^۳، افشین زهدی^۴ و توماس کامپن^۵

۱. کارشناسی ارشد، گروه زمین‌شناسی، دانشکده علوم زمین، دانشگاه تحصیلات تکمیلی علوم پایه زنجان، زنجان، ایران

۲ و ۳. استادیار، گروه زمین‌شناسی، دانشگاه تحصیلات تکمیلی علوم پایه زنجان، زنجان، ایران

۴. دانشیار، گروه زمین‌شناسی، دانشکده علوم، دانشگاه زنجان، زنجان، ایران

۵. استادیار، گروه زمین‌شناسی، دانشکده علوم زمین، دانشگاه ماساریک برنو، جمهوری چک

تاریخ دریافت: ۱۴۰۱/۰۱/۲۴

تاریخ پذیرش: ۱۴۰۱/۰۴/۰۴

چکیده

دونین پسین در تاریخ زمین با تغییرات مهم آب و هوایی جهانی، حوادث کاهش اکسیژن و انقراض زیستی مهم هنگنبرگ همراه می‌باشد. اصلی‌ترین هدف این مطالعه، بررسی ارتباط بین محیط نهشت دیرینه و شرایط احیای دیرینه طی نهشت رسوبات سازند جیروود با سن دونین پسین در برش گرمابدر واقع در شمال شرق تهران است. سازند جیروود در برش گرمابدر، با ضخامت حدود ۲۸۰ متر، از نهشته‌های سیلیسی آواری، کربناته، هیبریدی کربناته-سیلیسی آواری و فسفریتی تشکیل شده است. آنالیز رخساره‌های رسوی سازندی برش مورد مطالعه، حاکی از وجود سه مجموعه‌ی رخساره‌ای اصلی سیلیسی آواری مربوط به محیط‌های خلیج دهانه‌ای در اثر امواج، بخش حاشیه ساحلی و بخش دور از ساحل و دو مجموعه‌ی رخساره‌ای کربناته مربوط به مناطق بین جزر و مدى و زیر جزر و مدى است و تائیدی بر محیط نهشتی ساحلی-دریایی کم‌عمق است. علاوه بر این، بررسی تغییرات عنصر و اندیس‌های ژئوشیمیایی شرایط احیای دیرینه (همانند U/Th و V/Cr) نیز نشان‌دهنده‌ی شرایط احیایی تر در زمان رسوب‌گذاری شیل‌های سیاه و فسفریت‌های سازند جیروود در برش مورد مطالعه است. در مجموع، این نتایج نشان می‌دهند که انطباق خوبی بین عمق محیط نهشتی و شرایط احیایی حاکم بر آن طی رسوب‌گذاری شیل‌های سیاه رنگ سازند جیروود وجود دارد.

واژه‌های کلیدی: آنالیز رخساره‌ای، دونین پسین، سازند جیروود، شرایط احیای دیرینه، شیل سیاه.

مقدمه

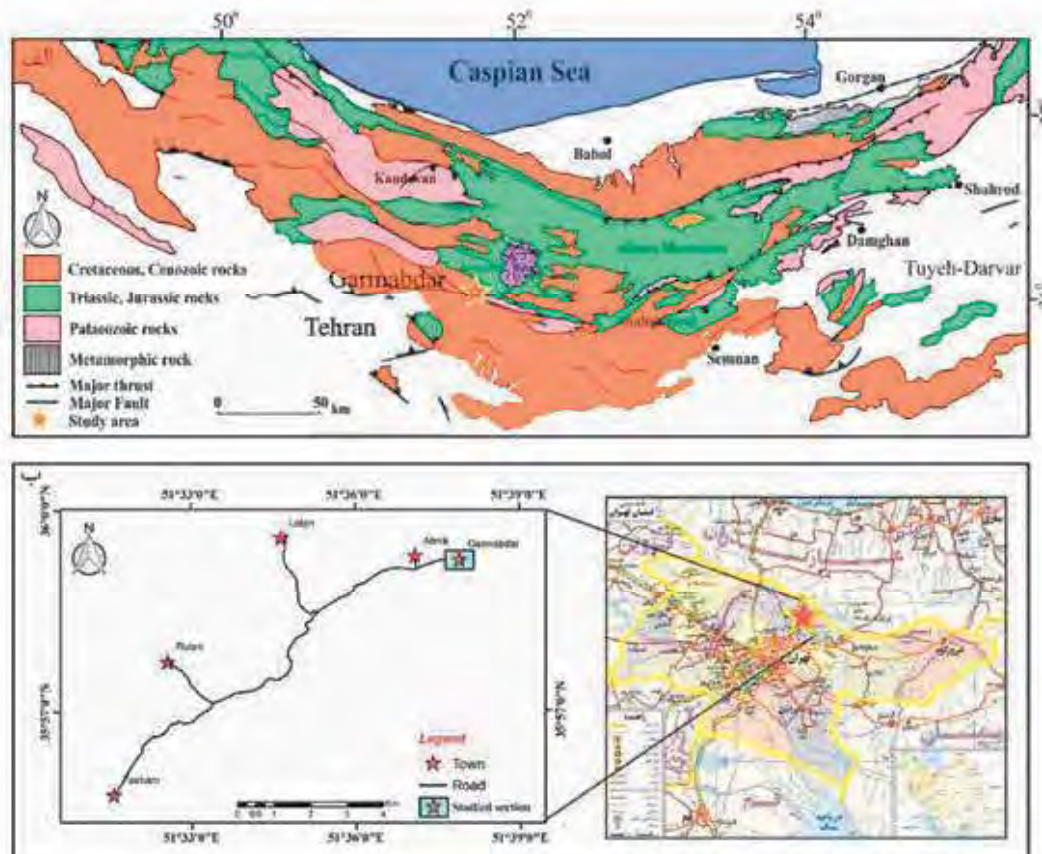
مرز جهانی دونین-کربونیفر، از نظر تغییرات رخساره‌ای و وزنی‌های زیستی، مشابه است. تقریباً در تمامی برش‌های بررسی شده، توالی‌های کربناتی به طور تدریجی و یا ناگهانی توسط افق‌های شیلی سیاه و گلسانگ‌های سیاه غنی

دونین فوقانی شاهد انقراض بزرگ جمعی در حدود ۳۵۹ میلیون سال پیش می‌باشد و طی آن ۳۹ تا ۸۲ درصد از جانداران دریایی از بین رفتند (Sepkoski, 1996).

*نویسنده مرتبط: n.etemad@iasbs.ac.ir

به ویژه با در نظر گرفتن رویدادهای جهانی مهم رخ داده در حد فاصل دونین-کربونیفر وجود دارد. در این مطالعه سازند جیروود در نزدیکی روستای گرمابدرا (N $35^{\circ}59'73''$ E $51^{\circ}34'22''$) در شمال تهران، با خامت حدودی ۲۸۰ متر، مورد بررسی قرار گرفت (شکل ۱). مرز زیرین سازند جیروود در برش گرمابدرا با گروه میلا از نوع ناپیوستگی موازی و مرز بالایی آن با سازند مبارک به صورت تدریجی می‌باشد. در این مطالعه، سنگ‌شناسی و رخسارهای سنگی متنوع سازند جیروود در برش گرمابدرا مورد بررسی دقیق صحراوی و آزمایشگاهی قرار گرفت. علاوه بر این، شرایط اکسیداسیون/احیایی حاکم بر محیط نهشتی رسوبات سازند جیروود از طریق مطالعه عناصر فرعی گلسانگ‌های سازندی این سازند مطالعه شده است. در کنار هم قرار گرفتن نتایج به دست آمده از این مطالعه و مطالعات انجام شده پیشین، اهمیت زیادی در بازسازی جغرافیای دیرینه‌ی البرز طی دونین پسین-کربونیفر آغازین خواهد داشت.

از مواد آلی پوشیده شده‌اند و نشان از محیط‌های دیرین فقد اکسیژن دارند (Caplan et al., 1999). این شیل که شیل هنگنبرگ نامیده می‌شود دارای گسترش جهانی است و نام آن از شیل‌های سیاه غنی از مواد آلی هنگنبرگ در آلمان گرفته‌ند و نشان از تولید و گسترش محیط‌های قدیمه بدون اکسیژن در این زمان دارد (Caplan et al., 1999; Paproth et al., 1991). سازند جیروود به سن دونین پسین در پهنه البرز حاوی مجموعه‌ی بسیار متنوع از سنگ‌های رسوی سیلیسی آواری، کربناته و هیبریدی است که هم زمان با رویدادهای بزرگ جهانی رخ داده طی دونین پسین به جا گذاشته شده‌اند. علیرغم وجود رخنمون‌های مناسبی از سازند جیروود در البرز و مطالعات ارزشمندانجام شده بر روی محیط‌های نهشتی، چینه نگاری سکانسی و خاستگاه این نهشت‌ها (برای مثال: رسولی، ۱۳۹۱؛ خزائی و همکاران، ۱۳۵۹ و ۲۰۱۶، Sharafi et al., 2014)، هنوز ابهاماتی در رابطه با شرایط حاکم بر محیط نهشت دیرین این رسوبات



شکل ۱. (الف) نقشه زمین‌شناسی ناحیه مورد مطالعه در پهنه ساختاری البرز مرکزی شامل موقعیت برش مورد مطالعه که با ستاره مشخص شده است (اقتباس از Stocklin et al., 1968). (ب) تصویر راههای دسترسی به برش مورد مطالعه در روستای گرمابدرا

دیده می‌شود و همچنین گروه رخساره‌ای دریای باز؛ شامل بخش دور از ساحل می‌باشد و در بخش میانی و بالایی برش مورد مطالعه شناسایی شده است. نهشته‌های کربناته نیز در دو مجموعه رخساره‌ای بین جزر و مدی و زیر جزر و مدی^۳ قرار می‌گیرند (شکل ۲).

گروه رخساره‌ای خلیج دهانه‌ای

مجموعه رخساره‌ای کanal خلیج دهانه‌ای^۴

توصیف: این مجموعه رخساره‌ای از سطح قاعده‌ای ماسه‌سنگ‌های کانالی با لایه‌بندی مورب عدسی شکل در اندازه ذرات متوسط تا درشت با جورش‌گی ضعیف تشکیل شده است. ضخامت لایه‌ها و طبقات در آن‌ها حدود ۱/۵ تا دو متر است و این رخساره معمولاً با قاعده‌ی فرسایشی و الگوی ریز شونده به سمت بالا دیده می‌شود. لایه‌بندی مورب عدسی شکل، صفحه‌ای و لامیناسیون موازی اصلی‌ترین ساختمان‌های رسوبی مشاهده شده می‌باشد. هندسه این رخساره به صورت متوسط تا ضخیم لایه است و از گسترش جانبی و عمودی نسبتاً کم برخوردار است. این رخساره به صورت تدریجی به بخش قاعده‌ای ریزدانه مجموعه دلتای سدی تبدیل می‌شود (شکل ۳ الف، ب و پ).

تفسیر: تفسیر بخش قاعده‌ای سازند جیرود از توالی‌های رخساره‌ای تهنشین شده در محیط‌های خلیج دهانه‌ای در اثر امواج تشکیل شده است. این مجموعه رخساره‌ای شامل ذرات درشت آواری با جورش‌گی ضعیف، حاصل از انرژی نسبتاً بالای کanal رودخانه‌ای است. ساختمان‌های رسوبی مشاهده شده در کanal خلیج دهانه‌ای همانند لایه‌بندی مورب عدسی شکل، صفحه‌ای، لامیناسیون موازی، نشان‌دهنده‌ی تأثیر جریانات یک جهته رودخانه در بخش داخلی خلیج دهانه‌ای می‌باشد. شکل کانالی یا سطح قاعده‌ای فرسایش مقعر بیانگر فرسایش سطح قاعده خلیج دهانه‌ای در طول پایین افتادن سطح آب دریا و پرشدن آن به وسیله نهشته‌های کانالی رودخانه در طول بالاً مدن سطح آب دریا است (Bayet-Goll et al., 2014a, 2018a).

1. Energy Dispersive X-ray Fluorescence (EDXRF) Spectrometer
2. Institute for Advanced Studies in Basic Sciences (IASBS)
3. Intertidal and Subtidal
4. Estuarine channel

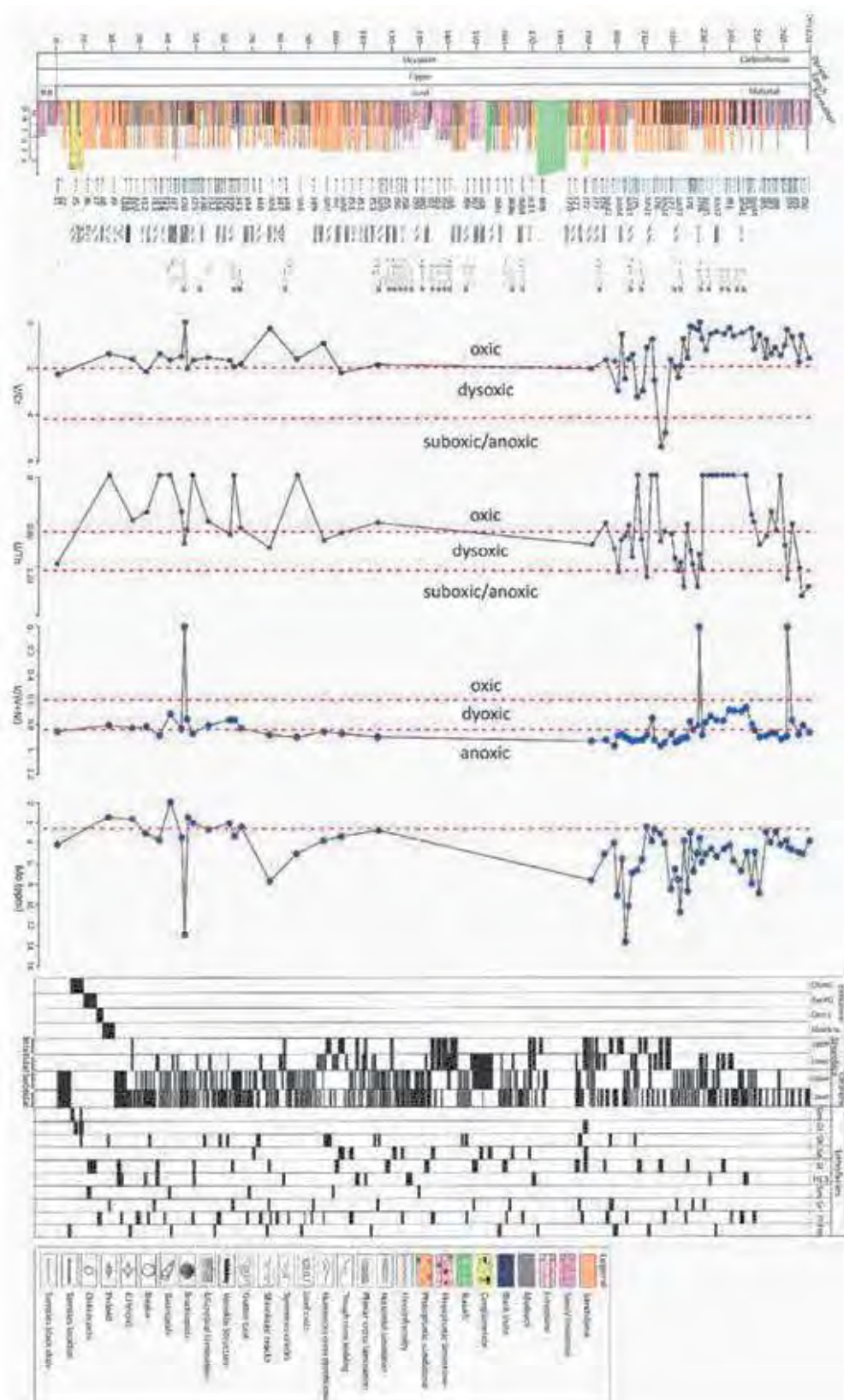
روش مطالعه

پس از بررسی نقشه‌ها و عکس‌های هوایی، برش مورد مطالعه انتخاب و طی چندین مرحله عملیات صحراوی، داده‌های مرتبط با رخساره‌های رسوبی شامل ویژگی‌های هندسی، ساختمان‌های رسوبی، محتوای فسیلی و همین‌طور ۱۵۰ نمونه بر اساس استراتژی چینه‌ای و در موارد مورد نیاز هدف‌دار، برداشت شدند. از مجموع نمونه‌های برداشت شده، ۸۴ مقطع نازک میکروسکوپی تهیه و توسط میکروسکوپ پلاریزان مورد مطالعه قرار گرفتند. بررسی ویژگی‌های بافتی و ترکیبی نمونه‌های سیلیسی آواری Folk (1980)، Tucker (2001) و Stow (2005)، (2005) نمونه‌های هیبریدی بر اساس Stow (2005) و Dunham (1984) و نمونه‌های کربناته بر اساس Mount (1984) و Flügel (1962) و (2004) می‌باشد. همچنین تعداد ۶۶ نمونه‌ی گلسنگی برای اندازه‌گیری عناصر اصلی و فرعی به روش طیف‌سنجی پراش انرژی فلورسانس پرتوایکس^۱ انتخاب شدند. پس از پودر کردن نمونه‌ها در آزمایشگاه خردایش سنگ دانشگاه تحصیلات تکمیلی علوم پایه زنجان^۲، نمونه‌ها در آزمایشگاه ژئوشیمیابی دانشگاه Masaryk چک توسط دستگاه طیف‌سنج فلورسانس پرتوایکس مورد آنالیز قرار گرفتند. موقعیت ۶۶ نمونه‌ی انتخابی برای مطالعات ژئوشیمیابی اندازه‌گیری عناصر فرعی در مقابل ستون چینه‌ای در شکل ۲ با فلش‌های رنگی آبی برای نمونه‌های گلسنگی مشخص شده است.

بحث

محیط نهشتی دیرینه

پس از جداسازی رخساره‌های سنگی در برش مورد مطالعه، سه گروه رخساره‌ای اصلی سیلیسی آواری شناسایی شدند و عبارتند از: گروه رخساره‌ای خلیج دهانه‌ای، شامل کanal (کanal منتهی به خلیج دهانه‌ای)، دلتای سدی- خلیج، بخش مرکزی خلیج دهانه‌ای و بخش توده‌های دهانه رخساره‌ای حاشیه ساحل: شامل بخش پایینی تا بالای حاشیه ساحلی است به طور متناوب در طول برش گرمابدرا



شکل ۲. ستون چینهای برش مورد مطالعه به همراه نتایج به دست آمده از مطالعات شرایط احیایی دیرینه و رخسارهای اصلی شناسایی شده. تغییرات اندیس‌های رُئوژیمیابی عناصر حساس به شرایط احیایی همانند: V/Th , V/Cr , U/Th , U/Cr , Mo/V و Ni/V به همراه تقسیم‌بندی شرایط اکسیژن‌دار، بدون اکسیژن و نیمه اکسیژن‌دار (Chang et al., 2016; Guo et al., 2016; Och, 2011) نشان داده شده است

لایه می باشد و با گسترش جانبی نسبتاً زیاد همراه است. این مجموعه رخساره‌ای در بخش پایینی سازند جیروود در برش گرمابدر با گسترش عمودی محدود مشاهده شده است. تفسیر: مجموعه رخساره‌ای توصیف شده، نشان دهنده‌ی محیطی با انرژی کم، تحت تأثیر گاه به گاه جریانات کششی می باشد و با میان لایه‌های ماسه‌سنگی حاوی ساختارهای لامیناسیون‌های موازی مشخص می‌شود. در این بخش به دلیل انرژی پایین، ذرات ریز گلسنگی از حالت معلق نهشت می‌باشد (Dalrymple et al., 1992). در خلیج‌های دهانه‌ای بر اثر امواج بخش مرکزی خلیج به طور معمول به صورت دوره‌ای تحت تأثیر نوسانات امواج قرار می‌گیرد (Bayet-Goll et al., 2016, 2021)، چنین عامل موج گسترش لایه‌بندی هترولیک و گسترش محدود لایه‌های ماسه‌سنگی نازک تا متوسط لایه با لامیناسیون موازی در رخساره‌های لاغون می‌شود.^۱

مجموعه رخساره‌ای توده‌های دهانه خلیج^۲

توصیف: این مجموعه رخساره‌ای از توالی‌های نسبتاً ضخیم ماسه‌سنگی درشت تا متوسط دانه با جورشده‌ی خوب و نازک شونده به طرف بالا تشکیل شده است. در بیشتر موارد برهم افزایندگی^۳ طبقات، به شکل توده‌های صفحه‌ای طبقات ماسه‌ای دیده می‌شوند. به طور کلی ضخامت طبقات در این مجموعه حدوداً یک تا پنج متر است و رخساره‌ها به صورت تکرار شونده بر روی یکدیگر قرار دارند. این توالی دارای گسترش جانی محدود هستند. این مجموعه رخساره‌ای به طور غالب شامل ماسه‌سنگ‌های با لایه‌بندی مورب عدسی شکل، چینه‌بندی مورب پشت‌های، چینه‌بندی مورب صفحه‌ای، لامیناسیون موازی و لایه‌های توده‌ای است (شکل ۳ خ و د) و به طور عمده در پایین رخساره‌های بالایی دور از ساحل قرار می‌گیرد.

تفسیر: مجموعه‌ی رخساره‌ای توصیف شده، با خصوصیات رسوب‌شناسی خاص خود همانند اندازه دانه، ترکیب رسوبی وجود ضخامت بالای طبقات ماسه‌سنگی، نشان از نهشت

مجموعه رخساره‌ای دلتای سدی خلیج^۱

توصیف: این مجموعه رخساره‌ای عمدهاً شامل رخساره‌های ماسه‌سنگی تا ماسه‌سنگ سیلیتی با جورشده‌ی خوب و به میزان کمتر شیل مادستونی و سیلیستون به صورت نهشت‌هایی به سمت بالا درشت شونده و ضخیم شونده است. از ساختمان‌های رسوبی می‌توان به لایه‌بندی مورب عدسی شکل و لامیناسیون موازی اشاره کرد. ماسه‌سنگ‌های توده‌ای نیز در این مجموعه مشاهده می‌شوند (شکل ۳ ت و ث). ضخامت طبقات در این مجموعه حدوداً یک تا دو متر است و البته قبل ذکر است، این رخساره‌ها با مرزی مشخص در پایین و به صورت تکرار شونده بر روی یکدیگر قرار دارند. هندسه این مجموعه رخساره‌ای به صورت صفحه‌ای با گسترش جانی قابل ملاحظه بر روی نهشت‌های کanalی رودخانه می‌باشد. این مجموعه همراهی نزدیکی با بخش مرکزی خلیج دهانه‌ای دارد (شکل ۳ الف).

تفسیر: الگوی به سمت بالا درشت شونده در این مجموعه‌ی رخساره‌ای به همراه چینه‌بندی‌های مورب و همراهی نزدیک با کanal‌های رودخانه‌ای از تشکیل این رخساره‌ها به صورت نهشت‌های پیش‌رونده بر روی مرکز خلیج حکایت می‌کند. تفکیک نهشت‌های دلتای سدی خلیج از رخساره کanal خلیج دهانه‌ای بر اساس وجود ساختارهای بر اثر امواج در لبه به سمت مرکز خلیج دهانه‌ای والگوی (Bayet-Goll et al., 2022a; Dalrymple et al., 1992)

مجموعه رخساره‌ای مرکز خلیج دهانه‌ای^۲

توصیف: این مجموعه رخساره‌ای از شیل‌های تیره با لامینه‌های نازک و ماسه‌سنگ‌های با لامیناسیون موازی و چینه‌بندی هترولیک با طبقه‌بندی نازک تا متوسط لایه موجی تشکیل شده است (شکل ۳ ج و ح). شیل‌ها در غالب موارد حجم اصلی این رخساره را تشکیل می‌دهند و به صورت توده‌ای می‌باشند. این رخساره‌ها توسط رسوبات دانه درشت مجموعه رخساره‌ای توده‌های دهانه خلیج پوشیده می‌شود. ضخامت لایه‌ها در حدود ۱ تا ۱/۵ متر است و معمولاً دارای مرز تدریجی هستند. هندسه این رخساره به صورت متوسط

1. Bay-head delta

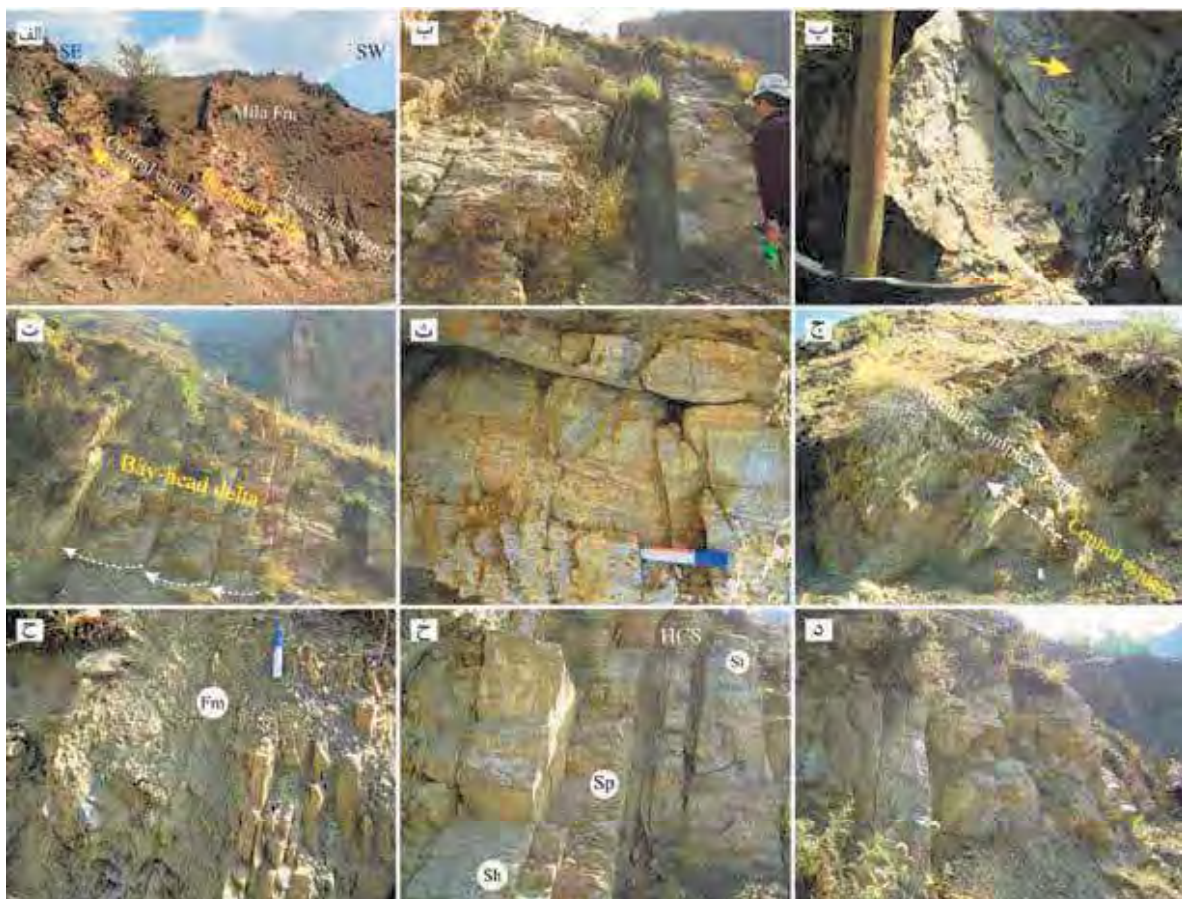
2. Central estuary

3. Mouth complexes bar

4. Amalgamated intervals

نشان دهنده‌ی تأثیر انرژی بالای جریان‌های بانرخ رسوب‌گذاری بالا است (Coates and MacEachern, 1999).

رسوبات در بخش داخلی پرانرژی دهانه خلیج بر اثر امواج دارد (Holbrook and Bhattacharya, 2012). فراوانی بالای طبقات ماسه‌سنگی با جورشدگی خوب در این رخساره



شکل ۳. تصاویر توالی رخسارهای کانال خلیج دهانه‌ای سازند جیروود، الف تا ث (تصویر صحرایی از رخساره کانالی شکل از ماسه‌سنگ‌های قاعده و نهشته‌های ضخیم شونده به طرف بالا از دلتای سدی خلیج (Bay-head delta) همراه با لایه‌بندی مورب عدسی شکل، صفحه‌ای و لامیناسیون موازی، ج و ح) مجموعه رخسارهای لagon در بخش مرکزی خلیج دهانه‌ای که دارای ماسه‌سنگ‌ها با لامیناسیون موازی و رسوبات ریز لagonی هستند، خ و د) توالی رخسارهای توده‌های دهانه خلیج با لایه‌بندی مورب مسطح، مورب عدسی شکل، لامیناسیون موازی و لایه‌های توده‌ای هستند.

برهم‌افزاینده^۲ ماسه‌سنگی ضخیم شونده به سمت بالا تشکیل شده است و به سمت بالا نسبت ضخامت لایه‌های شیلی کاهش می‌یابد. در بخش‌های برهم‌افزاینده طبقات با سطح فرسایشی مشخص و بدون میان لایه‌های شیلی از هم جدا می‌شوند (شکل ۴ الف و ب). رسوبات هیبریدی ماسه‌سنگ فسفاتی و سنگ‌های کربناتی نازک تا متوسط لایه نیز در این مجموعه رخسارهای شناسایی شده است. فسیل‌هایی همانند برآکریود، کرینوئید، بریوزوئر، دوکفه‌ای و

گروه رخسارهای حاشیه ساحلی مجموعه رخسارهای بخش حاشیه ساحلی پایینی- میانی^۱

توصیف: این مجموعه رخسارهای با ضخامتی حدود یک تا چهار متر دارای تنابوی از ماسه‌سنگ‌های در اندازه ریز تا متوسط، با جورشدگی متوسط تا بالا می‌باشد. همچنین شیل‌های سیاه و خاکستری رنگ به صورت نازک تا بهندرت ضخیم لایه نیز مشاهده می‌شوند. نسبت ماسه به شیل در این رسوبات پنج به یک است. این رخساره از توالی‌های

1. Lower middle shorface

2. Aggregated

با اندازه درشت همانند دوکله‌ای، برآکیوپود و خاریوست فراوان است و به صورت پراکنده و یا متراکم دیده می‌شوند. این مجموعه‌ی رخساره‌ای در بالای مجموعه رخساره‌ای توده‌های دهانه خلیج قرار دارد و توسط لایه‌های نازک آهکی پوشیده می‌شود (شکل ۴ ب).

تفسیر: وجود رسوبات سیلیسی کلاستیک با اندازه درشت و همین طور رسوبات کربناته‌ی حاوی آلوکم‌های دریابی، نشان‌دهنده‌ی محیط نهشتی دریای باز، بالای خط اثر موج‌سازه‌ای آرام است (Sharafi et al., 2012, 2011). شرایط حاصلی ساحلی بالایی است (Sharafi et al., 2012; Dashtgard et al., 2010). همچنین وجود ساختار چینه‌بندی مورب در ماسه‌سنگ‌های این مجموعه رخساره‌ای به همراه لایه‌بندی مورب مسطح از وجود انرژی بالای جریان به صورت مداوم در این مجموعه حکایت دارد.

گروه رخسارهای دریایی باز

مجموعه رخسارهای دور از ساحل بخش پایینی^۳

توصیف: این مجموعه رخسارهای با ضخامتی حدود یک تا پنج متر به طور عمدۀ از شیل‌های سیاه با میان لایه‌های ماسه‌سنگی ریزدانه، سیلتستون و سنگ‌آهک‌های نازک تا متوسط لایه‌تیره تشکیل شده است. شیل‌ها و ماسه‌سنگ‌ها عمدتاً دارای لامیناسیون موادی می‌باشد (شکل ۴ ث). این شیل‌ها گاهی به همراه گرهک‌های فسفاتی مشاهده می‌شوند. نسبت شیل به ماسه‌سنگ در این مجموعه پنج به یک می‌باشد. سنگ‌های کربناتی با خردّه‌های اسکلتی از نوع برکوپیود و کرینوئید با اندازه درشت، اغلب بافت پکستون-گرینستون نشان می‌دهند و درصد رخساره‌های پکستون، گرینستون و مادستون کم است (شکل ۴ خ). این رخساره در ناحیه مورد مطالعه از گسترش قابل توجهی برخوردار است و به طور متناوب در بخش میانی و بالایی برش گرمابدر مشاهده شده و بر روی، رسوبات خلیج دهنه‌ای، قوار، مگنزیومی.

گاستروپايد به همراه ساختمان‌های رسوی چون چینه‌بندی مورب پشت‌های و لامیناسیون موازی در این مجموعه مشاهده می‌شوند (شکل ۴ ب). ضخامت ساختارهای رسوی به‌ویژه چینه‌بندی مورب پشت‌های به سمت بالا افزایش می‌یابد. این مجموعه رخساره‌ای توسط مجموعه رخساره‌ای دور از ساحل از سمت بالا و رخساره‌های خلیج دهانه‌ای از سمت پایین با مرز مشخصی محدود شده است. رسوبات این مجموعه رخساره‌ای در بخش میانی و بالایی برش گرمابدر سازند. جیرود قرار دارند.

تفسیر: حضور فونای در بیانی به ویژه وجود رسوبات ریزدانه، نشان از تنشینی این رسوبات در بخش حاشیه ساحلی پایینی (در نزدیکی موجساز هوای آرام) دارد. با افزایش ضخامت طبقات و ساختارهای رسوبی در الگوی کم عمق شونده به سمت بالا به رخسارهای حاشیه ساحلی میانی در بالای موجساز هوای آرام تبدیل می‌شود (Bayet-Goll et al., 2022b, 2020; Sharafi et al., 2013; Schwarzenböck et al., 2011; Frohlich et al., 2010) همچنین وجود ساختارهای رسوبی همانند چینه‌بندی مورب پشت‌های و رسوبات طوفانی (دانه‌بندی تدریجی و جورشیدگی و گردش‌گی بالا) نشان از وجود شرایط طوفانی در این مجموعه رخسارهای دارد. بر اساس مطالعات دشتگرد و همکاران (Dashtgard et al., 2012) نهشته‌های طوفانی با افزایش شرایط طوفانی می‌توانند در طول حاشیه ساحلی پایینی نهشت کند و به طرف حاشیه ساحلی بالای پیش روی کنند (Sharafi et al., 2013).

مجموعه رخساره‌ای بخش حاشیه ساحلی بالایی^۱

توصیف: این مجموعه رخسارهای حدود ۱۰ متر ضخامت دارد و از ماسه سنگ‌های آلوکمی دانه درشت تا متوسط دانه که به سمت بالا یک روند ضخیم شونده در ضخامت لایه‌ها را نشان می‌دهند، تشکیل شده است (شکل ۴ پ و ت). طبقات ماسه سنگی جور شدگی خوب تا متوسط دارند. در برش مورد مطالعه، این مجموعه بیشتر در رأس سازند قرار داشته که با ماسه سنگ‌های دارای چینه‌بندی مورب تراو، لایه‌بندی مورب عدسی شکل و لایه‌بندی مورب مسطح مشخص می‌شود (شکل ۴ ت). قطعات فسیلی

1.1 Inner surface

2. Fair weather wave base (FWB)

- 3. Lower offshore

(شکل ۴ ج و د). این مجموعه بعد از بخش پایینی دور از ساحل بیشترین گسترش را در برش مورد مطالعه به خود اختصاص داده است و بر روی نهشته‌های خلیج دهانه‌ای و حاشیه ساحلی قرار می‌گیرد.

تفسیر: وجود مقادیر قابل توجهی از ماسه‌سنگ‌های دانه ریز، رسوبات سیلیستونی و همین طور حضور میان لایه‌های نازک شیل، نشان‌دهنده محيط دریابی با انرژی کم است. لایه‌های نازک ماسه‌سنگی و سیلیستونی را می‌توان به طوفان‌های دور از منشاء^۱ نسبت داد و سبب حمل رسوبات به مناطق بخش بالایی دور از ساحل^۲ می‌شوند (Frohlich et al., 2010). پراکندگی قطعات اسکلتی نشان از غلبه شرایط کم اکسیژن با دوره‌های کوتاه افزایش سطح اکسیژن دارد (Schwarz et al., 2011). در رابطه با سنگ‌های کربناتی، طبقه‌بندی نازک لایه تیره رنگ و مقادیر بالای فونای دریابی نشان‌دهنده شرایط دریابی دارد (Frohlich et al., 2010). وجود رسوبات طوفانی فراوان و تجمعات فسیلی به صورت تکرار شونده و چینه‌بندی مورب پشت‌های اشاره به یک موقعیت کم عمق با انرژی متوسط و غلبه فرآیندهای طوفانی دارد. اجزای هیبرید در اندازه‌های کاملاً متفاوت مانند فسیل صدف‌های درشت برآکیوپود، کربنوتید و قطعات فسفاتی اینترالکلستی با پلوئیدهای بدون ساختار^۳ و دانه‌های پوشش دار^۴ بزرگ‌تر از دو میلی‌متر در این ریز رخساره‌ها خود مؤید عملکرد ناگهانی فرآیندهای مانند امواج طوفانی در محیط رسویی می‌باشد.

گروه رخساره‌ای پری تایdal کربناته

مجموعه رخساره‌ای پنهانه‌های جزرومدمی^۵

توصیف: این مجموعه رخساره‌ای با ضخامت کم در برش مورد مطالعه از تناوب ریز رخساره‌های کربناتی مادستون ماسه‌ای، میکروبیال باینداستون و دولومادستون با یوکلاستی

تفسیر: در این مجموعه، گلسنگ‌های شیلی از تهنشینی رسوبات معلق به طور عمده در زیر خط اثر موج‌ساز هوای طوفانی^۶ نهشته شده‌اند (Collinson and Reading, 1996). رسویب‌گذاری در این بخش در زمان کاهش انرژی و نبود نوسانات جریانی غالب، سبب نهشته رسوبات ریز سیاه رنگ می‌شود. رنگ تیره‌این گلسنگ‌ها و همراهی آلوکم‌های پراکنده یا خرده‌های اسکلتی بیانگر نهشته شدن آن‌ها در محیط‌های احیائی می‌باشد (Schwarz et al., 2011; Flügel and Munnecke, 2010 Kaiser et al., 2016; Awan et al., 2020; Marynowski and Filipiak., 2007) آلی در این رخساره‌ها را می‌توان به فیتوپلانکتون‌ها^۷ و میزان ورود مواد مغذی نسبت داد. مهمترین مواد مغذی فسفات‌ها و نیترات‌ها می‌باشند، از تجزیه مواد آلی به دست می‌آیند و برای رشد گیاهان و جانوران حیاتی هستند (Wright et al., 2020; Marynowski and Filipiak., 2007) وجود فوناهای دریابی اشاره به وفور مواد غذایی در حوضه رسویی دارد و فعالیت فونای دریابی را سبب شده است. این خصوصیت در این مجموعه نشان از عمیق‌ترین بخش حوضه برای نهشته این رسوبات می‌باشد. به علاوه حضور پیکره سفالوپودها و آمونیدا در این نهشته‌ها بیانگر نهشته شدن این رسوبات در مناطق دور از ساحل است.

مجموعه رخساره‌ای دور از ساحل بخش بالایی^۸

توصیف: این مجموعه رخساره‌ای ضخامتی در حدود یک تا چهار متر دارد و از تناوب ماسه‌سنگ‌های دانه‌ریز با لامیناسیون موازی، لایه‌بندی مورب پشت‌های و سنگ‌های کربناتی نازک تا متوسط لایه که به صورت میان لایه با شیل‌های سیاه قرار دارند تشکیل شده است (شکل ۴ ج). از دیگر ترکیبات متفاوت در این مجموعه رخساره‌ای، وجود قطعات فسفاتی در همراهی با لیتولوژی‌های سنگ‌آهک و سیلیسی آواری‌ها هستند. فسفات‌های رسویی، شواهدی از حمل و انتقال مجدد را نشان می‌دهند. این رسوبات معمولاً چرخه‌های کوچک مقیاس ریز شونده به طرف بالا را تشکیل می‌دهند. سنگ‌آهک‌ها معمولاً شامل خرده‌های اسکلتی از نوع کربنوتید، برآکیوپود و دوکه‌ای هستند. از نظر بافتی آلوکم‌های اسکلتی در اندازه‌ی درشت و با جورشده‌گی متوسط تا خوب به صورت رودستون-فلوتس‌تون مشاهده می‌شوند

1. Storm-weather wave base (SWB)

2. Phytoplankton

3. Upper offshore

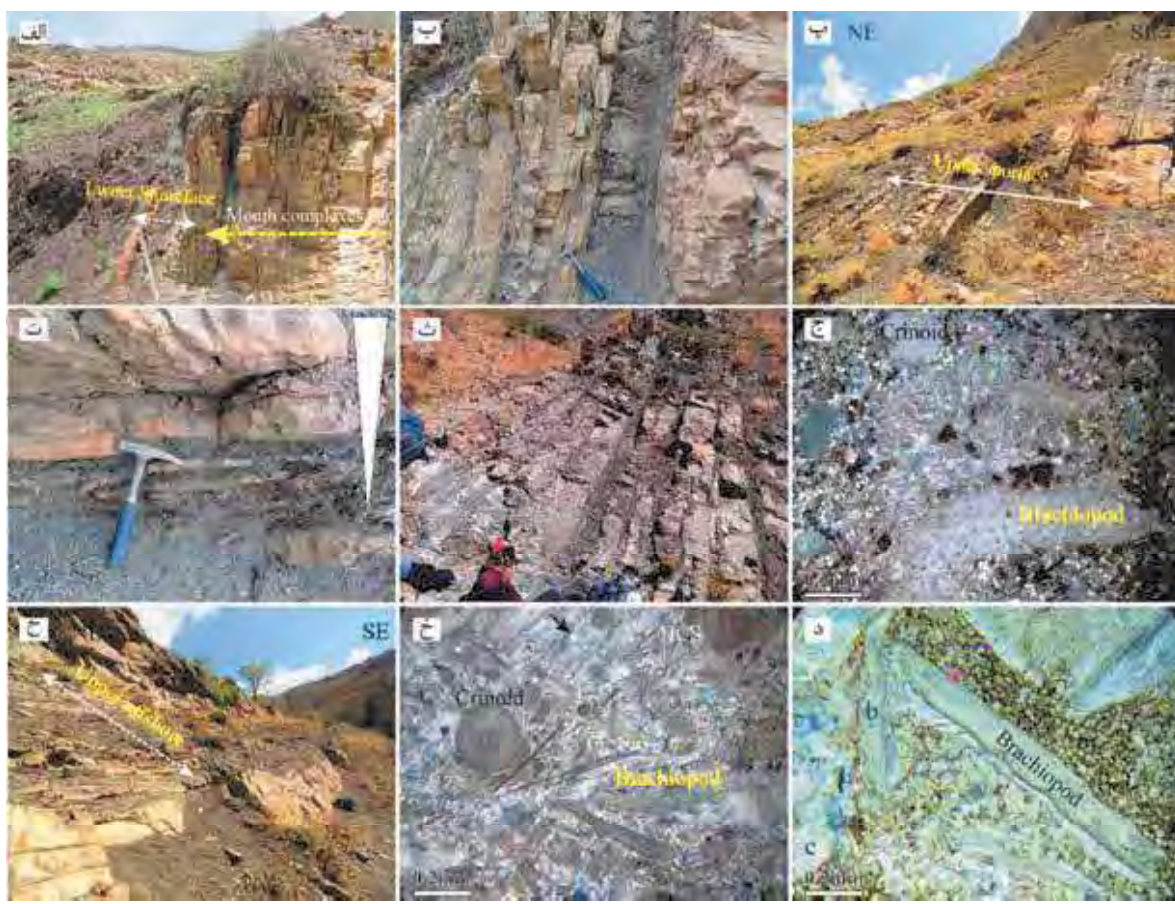
4. Distal storm

5. Upper offshore

6. Structureless peloids

7. Coated grains

8. Intertidal



شکل ۴. تصاویر مجموعه رخسارهای حاشیه ساحلی و دور از ساحل، الف و ب) نمایی از توالی ماسه‌سنگی متوسط و ضخیم لایه بخش پایینی حاشیه ساحلی به همراه طبقات طوفانی که الگوی ضخیم شونده به سمت بالا رانشان می‌دهند، پ) ماسه‌سنگ‌های متوسط لایه بخش بالایی حاشیه ساحلی، ت) تصویری از الگوی ضخیم شونده به طرف بالا در بخش بالایی رسوبات حاشیه ساحلی، ث) نمای تزدیک توالی رخسارهای دور از ساحل پایینی، ج) تصویر میکروسکوپی از رخساره رو دستون-فلوتسنون برآکیوپود و کربنوتیددار با دانه‌های کوارتز جورشده، خ) توالی رخسارهای دور از ساحل بالایی در مجاورت با رخساره‌های بخش پایینی دور از ساحل، خ و د) تصاویر میکروسکوپی از برآکیوودها و کربنوتیدهای عمدتاً سالم در رخساره پکستون-گرینستون را نشان می‌دهند

بالای جزرومدمی است (Warren, 2000؛ زارعی و همکاران، ۱۳۹۸). وجود ساختارهای جریانی و لایه‌بندی جناغی حاکی از نهشت در محیط‌های بین جزرومدمی با نواسانات انرژی جزرومدمی است. طبقات با شکل هندسی کانالی در بین این رخساره‌ها نیز نشان دهنده وجود کانال‌های جزرومدمی در محیط‌های بین جزرومدمی است.

مجموعه رخسارهای منطقه زیر جزرومدمی کم عمق^۱
توصیف: این توالی رخساره‌ای از تنابع لایه‌های کربناتی ضخیم تا متوسط لایه تشکیل شده است و با ضخامت نسبتاً بالا در برش مورد مطالعه مشاهده می‌شود. رخساره‌های

فسفات‌دار تشکیل شده است (شکل ۵ الف و ب). این توالی رخساره‌ای کربناته حاوی ساختارهای لایه‌بندی جناغی و لایه‌بندی موجی است. لنزهای ماسه‌سنگی با قاعده فرسایشی و شکل کانالی نیز در همراهی با این رخساره مشاهده می‌شوند (شکل ۵ پ و ت).

تفسیر: حضور قابل توجه دولومیت‌های ریز بلور، کاهش آلوکم‌ها و وجود گل کربناتی در دولومادستون‌ها در رخساره‌های پهنه‌های بالای جزرومدمی^۲ بیانگر حاکم شدن شرایط محیطی بین جزرومدمی تا بالای جزرومدمی می‌باشد (Evans et al., 2019; Zand-Moghadam et al., 2014; Flügel, 2010) و فراوانی گل کربناتی فقیر از آلوکم نیز نشان دهنده محیط

1. Supratidal

2. Shallow subtidal

تفسیر: در این مجموعه رخساره‌ای، گلسنگ‌ها از نهشت رسوبات معلق در بخش زیرین حد اثر امواج طوفانی به جا گذاشته شده‌اند (Frohlich et al., 2010). دانه‌های ریز آواری در ماسه‌سنگ‌های نازک لایه نیز به طوفان‌های دور از منشاء نسبت داده می‌شوند. سنگ‌های کربناتی با ثبت طبقات نازک لایه‌ی گلسنگی به رنگ سیاه وجود فوناهای دریایی، نشان از شرایط دریایی دارند (Sharafi, 2013; Seyedmehdi et al., 2016). این شواهد نشان می‌دهند، این مجموعه‌ی رخساره‌ای در عمق‌ترین بخش حوضه‌ی رسوی مورد مطالعه به جا گذاشته شده است.^۱

مدل رسوی مجموعه رخساره‌ای خلیج دهانه‌ای

مجموعه‌های رخساره‌ای بخش پایینی در برش گرمابدرو وجود شواهد جریان امواج و ساختارهای رسوی نشان‌دهنده محیط‌های نهشتی در یک سیستم ساحلی به نام خلیج دهانه‌ای بر اثر امواج است (شکل ۶ الف). در ناحیه مورد مطالعه مجموعه‌های رخساره‌ای کanal خلیج دهانه‌ای و دلتای سدی-خلیج به مقدار اندک در ابتدای برش وجود دارد، به سمت مرکز، رسوبات بخش مرکز خلیج دهانه‌ای و توده‌های دهانه خلیج از حجم رسوبات بالاتری برخوردار هستند. در نتیجه تأثیر فعالیت‌های امواج بر روی بخش خلیج دهانه‌ای این سازند موجب ایجاد توالی رسوی و الگوی برانبارش رخساره‌ای کاملاً متفاوت سازند جیرو شده است. قرارگیری الگوی برانبارش رخساره‌ها با قرارگیری رخساره‌های توده‌های دهانه‌ای خلیج بخش خارجی خلیج دهانه‌ای بر روی رخساره‌ای کanal خلیج دهانه‌ای و دلتای سدی-خلیج بخش میانی و داخلی خلیج دهانه‌ای از تشکیل بخش پایینی سازند جیرو در محیط خلیج دهانه‌ای بر اثر امواج در طول بالاً‌آمدن سطح آب دریا و پرشدن دره فرسایشی حکایت دارد. توالی‌های مرکز خلیج دهانه‌ای با تجمع رخساره‌های شیلی مشخص می‌شود، نشان‌دهنده بخش حداقل انرژی در این سیستم است. توالی‌های نسبتاً ضخیم از ماسه‌سنگی متوسط تا ریزدانه که به صورت انباسته شده شناسایی شده‌اند با ساختارهای دو جهتی به عنوان

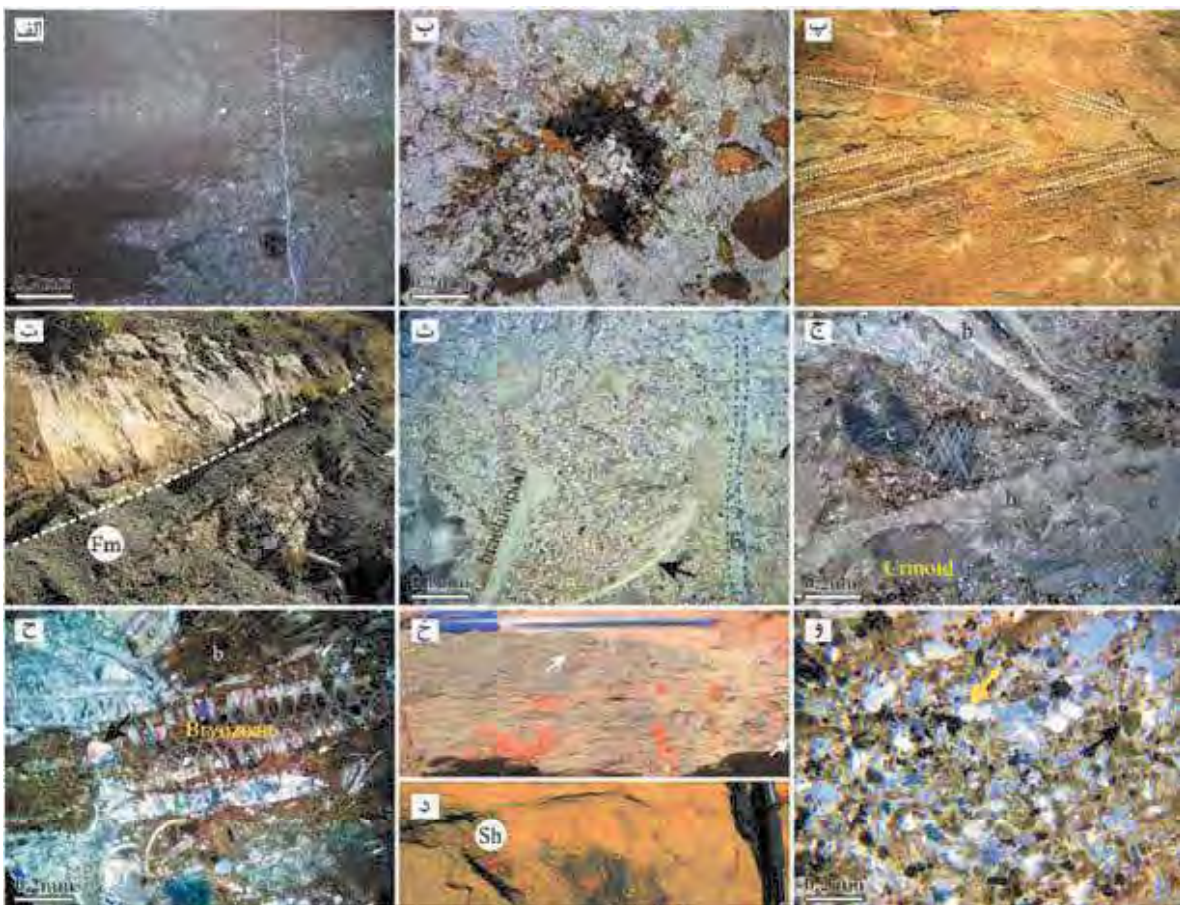
غالب در این مجموعه رخساره‌ای شامل گرینستون با یوکلاستی برآکیوپوددار ماسه‌ای، گرینستون کربناتی و بریوزت‌دار ماسه‌ای، فلوتستون-رودستون دارای بریوزت و برآکیوپود فسفاتی ماسه‌دار، فلوتستون دارای کربناتی و برآکیوپود ماسه‌ای می‌باشند (شکل ۵ ث، ج و ح). این توالی رخساره‌ای در حوضه مورد مطالعه گسترش بالای دارد و عمدهاً به صورت متناوب با نهشت‌های نواحی کم‌عمق در طول برش قابل مشاهده می‌باشد (شکل ۴ ث). دانه‌بندی تدریجی (اندازه‌فسیل‌ها به سمت بالا ریز شونده)، چینه‌بندی مورب پشت‌های و لامیناسیون ریپل جریانی در این نهشت‌ها شناسایی شده است (شکل ۵ خ).

تفسیر: وجود آلوکم‌های فراوان با تنوع زیاد و جور شدگی بالا و همین‌طور نبود گل کربناتی در این رخساره، نشان از انرژی بالای محیطی است (Collinson and Reading, 1996; Adabi et al., 2010). وجود ساختارهای چینه‌بندی مورب پشت‌های و ریپل جریانی نیز حاکی از تأثیر طوفان در محیط‌های زیر تأثیر امواج عادی است که به طور غالب در محیط‌های بالای موج‌سازهای طوفانی در ناحیه زیر جزرومدی کم‌عمق تشکیل می‌شوند. شکستگی و خردش‌گی بالای قطعات اسکلتی همراه با بافت دانه‌درشت و ضخامت بالای طبقات طوفانی از تنش‌سینی آن‌ها در محیط بالای موج‌سازهای طوفانی به عنوان نهشت‌های طوفانی نزدیک به منشاء حکایت دارد (Bayet-Goll et al., 2018b).

مجموعه رخساره‌ای منطقه زیر جزرومدی عمیق^۱

توصیف: این مجموعه رخساره‌ای از لایه‌های کربناتی نازک لایه و شیل‌های سیاه با میان لایه‌های دانه ریز سیلیتی تشکیل شده است و غالباً دارای لامیناسیون موازی هستند (شکل ۵ د). رخساره‌ها غالباً دارای جور شدگی ضعیف و از نوع ریز رخساره‌های وکستون پلوئیدار ماسه‌ای، وکستون با یوکلاستی ماسه‌ای و گرینستون استراکوددار هستند (شکل ۵ و). این نهشت‌ها در برش مورد مطالعه ضخامت بالایی داشته و بر روی توالی رخساره‌ای نواحی کم‌عمق قرار دارد و به تدریج به سنگ‌آهک‌های متوسط لایه سازند مبارک می‌رسند.

1. Deep subtidal



شکل ۵. تصاویر صحرایی مجموعه رخساره‌های پنهانه جزرومدی و ناحیه زیر جزرومدی، (الف و ب) رخساره میکروبیال باینداستون دارای زیست آشافتگی بین انگشتی و کوارتز بهصورت اندک و رخساره دولومادستون با بایوکلاستهای فسفاتی (بریوزوئر و استراکود)، (ب و ت) ساختار لایه‌بندی جناغی در رخساره‌های کانال جزرومدی و همچنین لایه‌بندی موجی، لنزهای ماسه‌سنگی با نامی نزدیک از قاعده فرسایشی مشخص کانال جزرومدی، (ث) رخساره وکستون بایوکلاستی ماسه‌ای، (ج) برآکیودها و کرینوئیدهای عمدها سالم در رخساره گرینستونی، (ح) رخساره فلوتستون-رودستون دارای بریوزوئر و برآکیوپود فسفاتی به همراه ذرات کوارتزی جورشده (فلش سیاه)، (خ و د) لامیناسیون رسیلی موجی و لامیناسیون موازی در توالی رخساره‌ای زیر جزرومدی کم عمق و عمیق، (و) رخساره وکستون پلوئیدار ماسه‌ای به همراه کوارتزهایی با جورشدن خوب و پیریت پراکنده

محیط دریایی باز بر اثر نوسانات امواج طوفانی و آرام تهشین شده‌اند. وجود شواهد گسترهای از تأثیر نوسانات امواج و طوفان همچون چینه‌بندی مورب پشتی‌ای و لامیناسیون موازی تا موجی دلالت بر تهشینی مجموعه توالی رخساره‌ای در محیط‌های بر اثر نوسانات امواج است (MacEachern and Pemberton, 1992). به‌طوری‌که طبقات ماسه‌ای حاوی چینه‌بندی مورب پشتی‌ای در طول امواج طوفانی و طبقات شیلی در طول موجساز هوای آرام تهشین شده‌اند (Dott Jr and Bourgeois, 1982). ماسه‌سنگ‌های بایوکلاستی دانه‌ریز تا متوسط با الگوی برانبارش که دارای رخساره‌های *Sp*, *St* و *Sh* هستند به عنوان رخساره‌های بالای

دلتای سدی خلیج دهانه‌ای این سیستم تفسیر شده‌اند. وجود اندک توالی‌های بخش مرکز خلیج دهانه‌ای نشان از وجود توده‌های ماسه‌ای احتمالاً موازی با ساحل می‌باشد (Schwarz et al., 2011). این خلیج دهانه‌ای به‌طور تدریجی توسط آب دریا پوشیده شده و در آخر توسط سیستم کاملاً دریایی و توسط مجموعه‌های رسوی حاشیه ساحلی و دور از ساحل جانشین شده است.

مدل رسوی مجموعه رخساره‌های دریایی باز (دور از ساحل-حاشیه ساحلی)

توالی‌های رخساره‌ای دریایی باز موجود در نهشته‌های سازند جیروود بر اساس خصوصیات رسوی‌شناسی در

در یک محیط کربناته کم عمق با شیب کم از محیط‌های سوپراتایdal تا بخش‌های پایینی ساپتایdal بر اثر نوسانات امواج می‌باشد. دو مجموعه رخسارهای در سازند جیرو در شامل محیط‌های ساپتایdal (ساپتایdal عمیق و کم عمق) و بخش اینترتایدال شناسایی شده است. نهشته‌های کربناته در ضخامت حدود ۱۳۰ متری از سازند جیرو تغییرات گستردۀای را در مجموعه رخسارهای تشکیل‌دهنده، نشان می‌دهند. نهشته‌های دارای پوشش‌های میکروبی، میکروبیال با اینداستون‌ها، رخسارهای گرینستونی و مادستونی نشان از شکل‌گیری پهنه‌های اینترتایدال، ساپتایdal کم عمق و ساپتایdal عمیق بر جای گذاشته شده است.

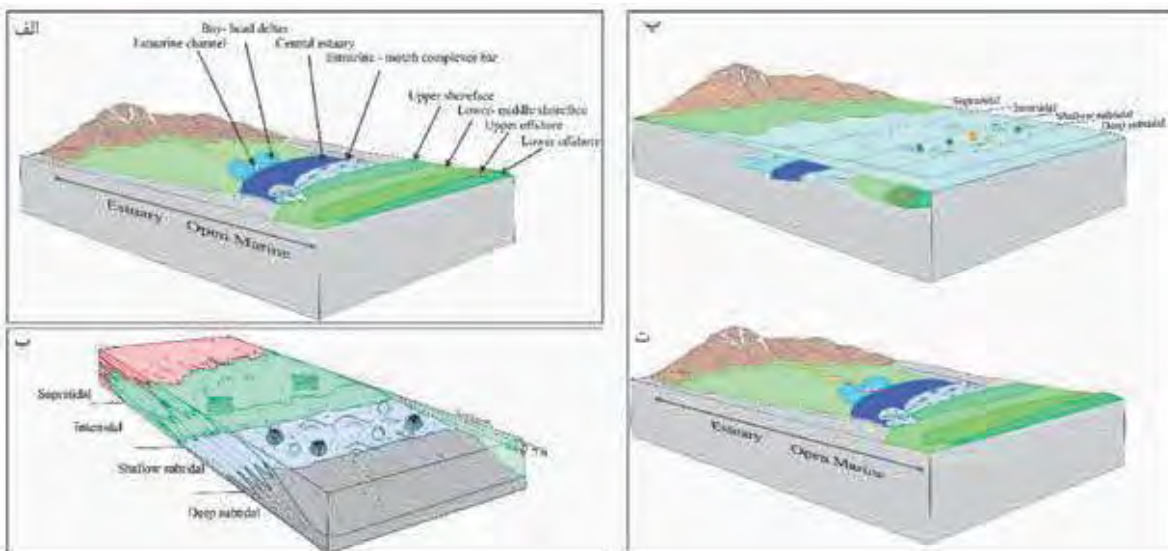
تکامل محیط نهشتی

روندهای تکاملی سیستم رسوی سازند جیرو در طول نهشت رسویات سیستم خلیج دهانه‌ای و رسویات حاشیه ساحلی و دور از ساحل از نوع محیط کم عمق کربناته، در شکل ۶ مشاهده می‌شود. پ) نفوذ جریانات دریایی در اثر کاهش شیب بستر رسوی و کاهش جریانات سطحی رودخانه‌ای به علت پرشدگی تدریجی حوضه و عبور نهشته‌های رسوی از بالادست و تشکیل مجموعه‌های رسوی مربوط به سیستم خلیج دهانه‌ای و رسویات مناطق کم عمق می‌باشد. ت) کاهش شدید شیب بستر و کاهش ورود رسویات سیلیسی

حاشیه ساحلی تفسیر شده است. این در حالیست که تناوب ماسه‌سنگ‌های دانه‌ریز متورق احتمالاً نشان‌دهنده بخش پایینی حاشیه ساحلی است. هر مجموعه رخسارهای دارای نهشته‌های طوفانی فراوان است و تمامی این ویژگی‌ها گواه بروجود موقعیت حاشیه ساحلی تحت کنترل طوفان است (Sharafi et al., 2014; Dashtgard et al., 2012). شیل‌های تیره و سنگ‌های کربناته نازک لایه با میان لایه‌های شیل سیاه متورق به همراه مجموعه‌های فسیلی متنوع در بخش حاشیه ساحل و دور از ساحل تنشین شده‌اند. چنین خصوصیات رسوی‌شناسی (MacEachern et al., 2007) حاکی از تنشینی توالي رخسارهای در حاشیه ساحلی و دور از ساحل بر اثر نوسانات امواج است (شکل ۶ الف).

مدل رسوی مجموعه رخسارهای کربناته

براساس مشاهدات حاصل از بررسی‌های رخسارهای سنگی و محیط تشکیل آنها و با توجه به شیب کم حوضه رسوی، گسترش رخسارهای پهنه‌های جزو مدی محیط رسوی سازند جیرو در ناحیه مورد مطالعه یک سکوی کربناته از نوع کم عمق می‌باشد، این مدل رسوی دارای بخش‌های پهنه جزو مدی می‌باشد (شکل ۶ ب). تغییرات جانبی و عمودی رخسارهای روند تدریجی توالي‌های رخسارهای در رسویات سازند جیرو گویای نهشت این سازند



شکل ۶. نمایی از سیستم رسوی سازند جیرو در طول نهشت رسویات تخریبی، کربناته و روند تکامل و پرشدگی در حوضه البرز مرکزی در طول نهشت رسویات سازند جیرو در زمان دونین فوکانی. تغییرات بر اساس آنالیز رخسارهای از یک سیستم سیلیسی آواری با گستره تراز پیش‌رونده به کربنات با گستره تراز بالا تبدیل شده است

هدف از این مطالعه، بررسی ارتباط محیط نهشتی و تغییرات شرایط اکسیداسیون و احیای حاکم بر آن طی نهشت رسوبات سازند جیروود در دونین پسین می‌باشد. به طور کلی نتایج این مطالعه نشان می‌دهند، نهشته‌های سازند جیروود در برش مورد مطالعه، در محیط‌های کربناته‌ی سازند جیروود در بخش بالایی برش موردنیست مخلوط سیلیسی آواری-کربنات و دریای کم‌عمق با نهشت سیلیسی آواری بهجا گذاشته شده‌اند (شکل ۲). علاوه بر این، تغییرات عناصر و نسبت‌های ژئوشیمیابی نشان دهنده‌ی شرایط احیایی دیرین، حاکی از شرایط احیایی‌تر محیط نهشتی دور از ساحل، در زمان رسوب‌گذاری شیل‌های سیاه رنگ، بهویژه در بخش بالایی برش موردنیست (شکل ۲). به طور کلی شیل‌های سیاه رنگ، از لایه‌های کلیدی نشان دهنده‌ی شرایط احیایی در زمان دونین پسین در سراسر دنیا هستند (Kaiser et al., 2011, 2016; Kaiser et al., 2016).

گسترش محیط‌های بدون اکسیژن در نواحی کم‌عمق دریایی (سابتاًidal) در طول دونین پسین که با ثبت رسوبات شیل هنگنبرگ و گلسنگ‌های سیاه رنگ معادل با آن مشخص می‌شوند، سبب ایجاد شرایط نامساعد محیطی و مرگ فوناهای دریایی و در نتیجه‌ی آن انفراض زیستی هنگنبرگ در دنیا شده است (Caplan and Bustin, 1999). این انفراض نه تنها بر روی گروه‌های مختلف موجودات زنده تاثیر گذاشته، بلکه تأثیرات آن به صورت تغییرات شدید ژئوشیمیابی و سنگ‌شناسی در لایه‌های سنگی این زمان ثبت شده است (Carmichael et al., 2016; Caplan et al., 1999).

آثار مربوط به این انفراض را می‌توان در قاعده گلسنگ‌ها و شیل‌های سیاه نهشته شده بر روی رمپ‌های کربناته بسیاری از نقاط جهان مشاهده کرد. پیک مثبت منحنی اندیس‌های $V/(V+Ni)$ و $U/(V+Ni)$ در کنار تغییرات سنگ‌شناسی و فسیل‌شناسی، نشان دهنده‌ی یک تغییر و اختلال آب و هوایی بزرگ در پایان دونین است (Kaiser et al., 2016; Wang et al., 2015; Wang et al., 2008).

دلیل این انفراض را به سرد شدن آب و هوای و گسترش یخچال‌ها بر روی ابرقاره گندوانا و پایین آمدن سطح جهانی

آواری در نتیجه مستعد شدن حوضه رسوی با افزایش سطح آب دریا برای تشکیل رسوبات حاشیه ساحلی، دور از ساحل از نوع محیط کم‌عمق کربناته می‌باشد.

شرایط اکسیداسیون-احیایی دیرینه

مطالعه‌ی ژئوشیمی سنگ‌های رسوی، روش مناسبی برای تعیین شرایط اکسیداسیون و احیاء قدیمه در محیط نهشتی است (Nagarajan et al., 2007). از عناصر فرعی حساس به شرایط احیایی می‌توان به V , U , Mn , Ni , Cr , Cu و Th اشاره کرد (Li et al., 2016). این عناصر فرعی اغلب به صورت نسبت‌هایی همانند $V/(V+Ni)$, V/Th و U/Th مورد استفاده قرار می‌گیرند. برای بررسی شرایط اکسیداسیون و احیای محیط نهشت دیرینه‌ی گلسنگ‌های سازند جیروود در برش موردنیست از اندیس‌های ژئوشیمیابی V/Cr , U/Cr , $V/(V+Ni)$, U/Th , V/Th و U/Th استفاده شده است (Kumpan et al., 2019; Barnes and Conchran, 1990). به طور کلی نسبت V/Cr بیشتر از ۴۶٪ و $V/(V+Ni)$ کمتر از دو نشان دهنده‌ی شرایط غالب بدون اکسیژن در محیط نهشتی است (Li et al., 2016). نتایج به دست آمده از مطالعه‌ی این اندیس‌ها در نمونه‌های موردنیست در جدول ۱ نشان داده شده و در برابر ستون چینهای نیز رسم شده است (شکل ۲). عنصر Mn تمرکز پایینی در پوسه‌های قاره‌ای بالایی دارد ($3/7$ ppm) و مقادیر بالای این عنصر از حوضه‌های بدون اکسیژن گزارش شده است (Tribovillard et al., 2006; Jones and Manning, 1994; Taylor and McLennan, 1985). میانگین این عنصر در نمونه‌های گلسنگی موردنیست در قاعده ۵/۱ ppm و در گستره یک تا ۱۴ ppm در تغییر است. میانگین نسبت $V/(V+Ni)$ نیز در گلسنگ‌های موردنیست در ۸۴٪ و در گستره صفر تا یک ppm در تغییر است (شکل ۲). نسبت U/Th در گلسنگ‌های سازند جیروود صفر تا دو و با میانگین ۰/۱۰ مشاهده می‌شود (شکل ۲). همچنین، میانگین نسبت V/Th در نمونه‌های موردنیست در ۱/۴۶ و در گستره صفر تا ۵/۴ در تغییر است (شکل ۲).

جدول ۱. نتایج آنالیز نسبت عناصر فرعی در گلسنگ‌های سازند جیروود در برش گرمابدرو

Sample no.	U (ppm)	Th (ppm)	Cr (ppm)	V (ppm)	Ni (ppm)	Mo (ppm)	U/Th	V/(V+Ni)	V/Cr
J2	4.24	32.93	64.95	146.38	25.18	4.23	0.13	0.85	2.25
J9	<LOD	15.04	81.04	113.87	28.06	1.44	<LOD	0.80	1.41
Jsh1	3.04	46.51	105.22	167.19	35.1	1.73	0.07	0.83	1.59
Jsh2	2.44	45.54	102.76	221.51	51.51	3.15	0.05	0.81	2.16
Jsh3	<LOD	44.06	140.63	191.79	25.19	3.82	<LOD	0.88	1.36
J17	<LOD	33.36	83.36	137.58	56.79	<LOD	<LOD	0.71	1.65
J21	2.49	47.28	113.26	168.92	34.58	3.62	0.05	0.83	1.49
J22	4.4	44.82	437.02	<LOD	81.58	13.06	0.10	<LOD	<LOD
J23	3.41	42.76	89.01	177.01	58.23	1.5	0.08	0.75	1.99
J26	<LOD	39.79	112.38	182.1	27.28	2.07	<LOD	0.87	1.62
J32	3.09	46.1	126.3	194.16	48.5	2.8	0.07	0.80	1.54
J40	3.76	43.72	107.89	178.92	58.41	2.14	0.09	0.75	1.66
J42	<LOD	41.89	94.2	180.18	57.45	3.4	<LOD	0.76	1.91
Jsh-4	3.41	44.55	117.94	211.89	44.93	2.51	0.08	0.83	1.80
Jsh-5	5.99	56.63	529.18	149.32	20.77	7.81	0.11	0.88	0.28
JSh6	<LOD	46.98	116.76	186.7	20.96	5.18	<LOD	0.90	1.60
Jsh-7	4.37	45.9	177.62	162.99	28.91	3.86	0.10	0.85	0.92
Jsh-8	3.76	45.15	97.68	209.3	30.88	3.42	0.08	0.87	2.14
J54	3.37	49.18	104.67	190.2	21.96	2.86	0.07	0.90	1.82
Jsh12	4.81	47.83	162.15	322.61	24.69	7.78	0.10	0.93	1.99
Jsh-13	2.64	37.75	221.83	356.46	31.19	5.2	0.07	0.92	1.61
M8c	6.11	57.17	185.03	311.62	11.26	4.09	0.11	0.97	1.68
Jsh-14	5.56	39.44	98.15	289.27	38.56	9.12	0.14	0.88	2.95
Jsh-15	5.14	54.96	277.96	142.91	19.93	5.66	0.09	0.88	0.51
Jsh-16	4.11	46.87	161.57	393.33	42.17	13.72	0.09	0.90	2.43
Jsh-17	2.79	38.97	203.95	325.21	32.03	10.22	0.07	0.91	1.59
Jsh-18	4.34	36.04	227.99	321.62	24.67	7.01	0.12	0.93	1.41
Jsh-19	<LOD	34.81	114.81	369.8	30.19	6.75	<LOD	0.92	3.22
Jsh-20	4.49	47.48	195.95	578.96	55.7	5.69	0.09	0.91	2.95
Jsh21	3.41	22.71	253.73	274.4	39.16	2.51	0.15	0.88	1.08
M16	<LOD	30.92	99.6	72.76	25.2	3.89	<LOD	0.74	0.73
Jsh-22	<LOD	26.75	123.54	309.34	27.2	2.75	<LOD	0.92	2.50
Jsh-23	3.59	36.99	100.06	536.94	17.89	3.24	0.10	0.97	5.37
Jsh-24	3.37	41.23	96.09	458.35	29.35	4.1	0.08	0.94	4.77
Jsh-25	5.78	68.08	177.77	285.21	43.7	8.54	0.08	0.87	1.60
Jsh-26	8.99	73.59	182.1	347.16	20.26	6.61	0.12	0.94	1.91
Jsh-27	9.16	65.42	158.67	379.45	30.36	7.66	0.14	0.93	2.39
Jsh-28	9.34	73.33	180	339.11	36.26	10.81	0.13	0.90	1.88
Jsh-29	5.8	35.47	208.99	148.81	17.19	3.84	0.16	0.90	0.71
Jsh-31	4.15	37.42	214.56	333.12	36.82	8.82	0.11	0.90	1.55
M25	2.28	32.1	320.42	51.61	15.83	3.07	0.07	0.77	0.16
Jsh-32	5.04	38.87	724.29	153.73	30.83	6.88	0.13	0.83	0.21

ادامه جدول ۱.

Sample no.	U (ppm)	Th (ppm)	Cr (ppm)	V (ppm)	Ni (ppm)	Mo (ppm)	U/Th	V/(V+Ni)	V/Cr
Jsh-33	5.57	34.21	382.05	134.9	33.68	5.11	0.16	0.80	0.35
M28	3	25.91	284.99	<LOD	23.05	3.66	0.12	<LOD	<LOD
Jsh-34	6.43	46.54	256.18	184.53	25.3	5.95	0.14	0.88	0.72
Jsh-35	<LOD	34.95	67.72	81.57	23.84	5.17	<LOD	0.77	1.20
Jsh-36	<LOD	32.38	172.83	84.99	32.44	4.67	<LOD	0.72	0.49
Jsh-37	<LOD	32.62	158.47	63.08	20.26	5.43	<LOD	0.76	0.40
Jsh-38	<LOD	28.78	215.93	106.4	32.93	4.61	<LOD	0.76	0.49
Jsh-39	<LOD	34.15	185.25	45.49	21.76	4.31	<LOD	0.68	0.25
Jsh-40	<LOD	26.24	86.87	49.65	23.64	5.83	<LOD	0.68	0.57
Jsh-41	<LOD	30.49	118.55	55.71	25.29	6.77	<LOD	0.69	0.47
Jsh-42	<LOD	29.16	172.34	44.62	23.59	4.96	<LOD	0.65	0.26
Jsh-43	3.47	61.46	117.9	139.03	31.86	8.02	0.06	0.81	1.18
Jsh-44	3.65	54.01	234.85	126.3	22.95	4.96	0.07	0.85	0.54
Jsh-45	6.26	62.15	211.9	158.45	18.79	9	0.10	0.89	0.75
Jsh-46	4.3	48.67	124.94	194.79	25.13	3	0.09	0.89	1.56
Jsh-47	2.85	54.29	152.83	206.84	32.65	4.05	0.05	0.86	1.35
Jsh-48	4.08	50.4	204	224.16	34.62	2.95	0.08	0.87	1.10
Jsh-49	<LOD	55.52	155.94	225.21	21.75	4.25	<LOD	0.91	1.44
Jsh-50	6.02	59.24	149.17	146.42	17.22	3.87	0.10	0.89	0.98
Jsh-51	6.35	41.45	467.88	150.62	<LOD	4.59	0.15	<LOD	0.32
Jsh-52	3.07	43.4	227.71	148.76	45.93	4.73	0.07	0.76	0.65
Jsh-53	6.68	48.94	118.74	205.66	29.68	5	0.14	0.87	1.73
Jsh-54	7.67	43.43	313.78	181.44	43.26	5.13	0.18	0.81	0.58
Jsh-55	7.61	46.82	139.2	213.56	36.98	3.9	0.16	0.85	1.53
Average	4.70	43.36	185.02	210.06	32.05	5.18	0.10	0.84	1.46

سیاه رنگ سازند جیرود را می‌توان به عنوان شاهدی بر حادثه‌ی جهانی هنگنبرگ پیشنهاد داد. وجود فسفریت‌های رسوبی در همراهی با این شیل‌های سیاه رنگ نیز می‌توانند در ارتباط با حادثه‌های زیستی جهانی کلواسر و هنگنبرگ باشند (کریمی و همکاران، ۱۳۹۸). تایید این موضوع نیاز به مطالعات جامع ژئوشیمیابی و بایواستراتیگرافی کنودونتها دارد.

نتیجه‌گیری

- سازند جیرود در برش گرمابدر، شمال شرق تهران، از حدود ۲۸۰ متر نهشته‌های آواری، کربناته، هیبریدی و فسفریتی تشکیل شده است.
- با توجه به نتایج بدست‌آمده از آنالیز رخساره‌ها،

آب دریاها نسبت می‌دهند (Barash, 2016; Carmichael et al., 2016; Caplan and Bustin, 1999). برخی از دیرینه شناسان نیز واژگونی آبهای اقیانوسی و گسترش آبهای بدون اکسیژن را در مرگ موجودات موثر می‌دانند (Carmichael et al., 2019; Bond and Grasby, 2017). همان‌گونه که اشاره شد، حادثه‌ی هنگنبرگ در بسیاری از نقاط جهان همانند آلمان، فرانسه، کانادا، چین، روسیه، بزرگیل، قزاقستان، استرالیا، قسمت‌های شمال آمریکا، کشورهای شمال آفریقا از جمله لیبی، تونس، مصر و همچنین در ایران و عربستان شناسایی شده است (پرویزی و همکاران، ۱۳۹۸؛ بهرامی و یزدی، ۱۳۹۱؛ مصدق و همکاران، ۱۳۸۴ و Kaiser et al., 2016). براساس این مطالعات، شیل‌های Caplan et al., 1999)

- پ.، ۱۳۹۸. زیست چینه نگاری نهشته‌های دونین پایانی کربونیفر آغازین در برش میغان، شمال شرق شاهرود، البرز شرقی. پژوهش‌های چینه نگاری و رسوب‌شناسی، ۱۱۵.

- خرایی، م.، حسینی برزی، م.، صادقی، ع. و مصدق، ح.، ۱۳۵۹. محیط رسوبی و چینه نگاری سکانسی نهشته‌های سازند جیروود در برش ده صوفیان. علوم زمین، ۱۱۶-۱۰۹.

- رسولی، م.، ۱۳۹۱. محیط رسوبی سازند جیروود و بررسی مرز دونین-کربونیفر در دو برش آبنیک و دره لalon، البرز مرکزی. پایان‌نامه کارشناسی ارشد، دانشگاه شهید بهشتی، ۱۸۰.

- زارعی، ح.، رئیس السادات، س. ن.، مرتضوی مهریزی، م. و یزدی مقدم، م.، ۱۳۹۸. بررسی ریز رخساره‌ها و محیط رسوبی نهشته‌های کرتاسه زیرین در برش قومنجان، جنوب غرب قائن. فصلنامه زمین‌شناسی ایران، ۱۳، ۵۰، ۱۲۰-۹۹.

- کریمی، ن.، اعتماد سعید، ن.، بایت گل، ظ. و زهدی، ا.، ۱۳۹۸. طبقه‌بندی سنگ‌های رسوبی فسفاتی سازند جیروود در برش گرمابدرواقع در البرز مرکزی. رسوب‌شناسی کاربردی، ۱۴، ۱۲۸-۱۲۲.

- مصدق، ح.، کربائی‌زاده، م. و حسینی‌نژاد، م.، ۱۳۸۴. ویژگی‌های زیست چینه‌ای و رسوب‌شناسی گذر دونین-کربونیفر (سازندهای جیروود و مبارک) در البرز شرقی: معرفی حادثه زیستی هنگنبرگ (Hangenberg bi-(o)eve nt). نهضت همایش انجمن زمین‌شناسی ایران، ۱۳.

- نصیری، ی.، محبوبی، ا.، موسوی حرمسی، ر.، خراجی، ا. و یوسفی یگانه، ب.، ۱۳۹۲. بازسازی محیط رسوبی رسوبات سیلیسی آواری-کربناته سازند امیران (کرتاسه بالایی-پالئوسن) در جنوب غرب لرستان. فصلنامه زمین‌شناسی ایران، ۲۷، ۷۴-۵۵.

- Adabi, M.H., Salehi, M.A. and Ghabeishavi, A., 2010. Depositional environment, sequence stratigraphy and geochemistry of Lower Cretaceous carbonates (Fahliyan Formation), southwest Iran. Journal of Asian Earth Sciences, 39(3), 148-160.

- Awan, R.S., Liu, C., Gong, H., Dun, C., Tong, C. and Chamssidini, L. G., 2020. Paleo-sedimentary environment in relation to enrichment

رسوبات برش مورد مطالعه به سه گروه رخساره‌ای خلیج دهانه‌ای، گروه رخساره‌ای حاشیه ساحلی و گروه رخساره‌ای دریایی باز در واحدهای سیلیسی آواری دسته‌بندی می‌شوند. نهشته‌های کربناته نیز در محیط‌های بین جزر و مدی و زیر جزر و مدی به جای گذاشته شده‌اند.

- مطالعات ژئوشیمیایی بر روی ۶۶ نمونه گلسنگی و بررسی شرایط اکسیژن/احیای دیرینه‌ی محیط نهشته از طریق اندیس‌های V/Cr , U/Th , $V/(V+Ni)$ و عنصر Mo نشان‌دهنده‌ی نهشت گلسنگ‌های سیاه رنگ سازند جیروود در شرایط احیایی تر، همراه با تولید بالای مواد آلی است. این شرایط با عمق بیشتر محیط نهشته در رخساره‌های فوق همخوان است و می‌تواند در ارتباط با حادثه‌ی جهانی هنگنبرگ باشد. تأیید این موضوع به مطالعات کامل‌تری نیاز دارد.

سپاسگزاری

نویسنده‌گان مقاله‌ای دانشگاه تحصیلات تکمیلی علوم پایه زنجان برای فراهم آوردن امکانات لازم جهت انجام این پژوهه قدردانی می‌کنند. از همراهی آقایان مهندس فعال، خضری و کریمی برای همراهی در عملیات صحرایی سپاسگزاری می‌شود. از سردبیر و هیئت داوران فصلنامه زمین‌شناسی ایران نیز صمیمانه قدردانی می‌شود.

منابع

- امرائي، ج.، رضائي، پ.، اميني، ع.، زمان‌زاده، م. و توکلي، و.، ۱۳۹۸. تحليل ريز رخساره‌ها و پetrofasis‌ها، ویژگی‌های دیاژنتیکی و شرایط محیطی سازند فراقان در بخش مرکزی خلیج فارس. فصلنامه زمین‌شناسی ایران، ۱۳، ۵۰، ۳۲-۱۵.

- بهرامی، ع. و یزدی، م.، ۱۳۹۱. رخساره زیستی کنودونتهای مرز دونین-کربونیفر در ایران مرکزی (برش‌های قلعه کلاگو، حوض دوراه ۱ و ۲) و مقایسه آن‌ها با برش‌های حوضه آلپ در اروپا و ارتباط آن‌ها با حادثه زیستی هنگنبرگ. پژوهش‌های چینه نگاری و رسوب‌شناسی، ۴، ۸۰-۵۹.

- پرویزی، ط.، بهرامی، ع.، کایسر، س. و کونیگشوف،

- of organic matter of Early Cambrian black rocks of Niutitang Formation from Xiangxi area China. *Marine and Petroleum Geology*, 112, 104057.
- Barnes, C.E. and Cochran, J.K., 1990. Uranium removal in oceanic sediments and the oceanic U balance. *Earth and Planetary Science Letters*, 97(1-2), 94-101.
 - Barash, M. S. 2016, February. Changes in environmental conditions as the cause of the marine biota Great Mass Extinction at the Triassic-Jurassic boundary. In *Doklady Earth Sciences* (Vol. 466, No. 2, pp. 119-122). Pleiades Publishing.
 - Bayet-Goll, A., Sharafi, M., Jazimagh, N. and Brandano, M., 2022a. Understanding along-strike variability in controlling mechanisms of paleoenvironmental conditions and stratigraphic architecture: Ordovician successions in the Alborz Mountains of Iran at the northern Gondwana margin. *Marine and Petroleum Geology*, 140, 105654.
 - Bayet-Goll, A., Daraei, M., and Imani-Seginsara, M., 2022b. Paleogeographic reconstruction and sequence architecture of the middle-upper Jurassic successions of Hawraman Basin (NW Iran): Implications for tectono-depositional processes of the northeastern passive margin of the Arabian Plate. *Geological Journal*. 57(5), 2058-2093.
 - Bayet-Goll, A., Daraei, M., Geyer, G., Bahrami, N. and Bagheri, F., 2021. Environmental constraints on the distribution of matground and mixground ecosystems across the Cambrian Series 2-Miaolingian boundary interval in Iran: A case study for the central sector of northern Gondwana. *Journal of African Earth Sciences*, 176, 104120.
 - Bayet-Goll, A., Daraei, M., Taher, S. P. M., Etemad-Saeed, N., de Carvalho, C. N., Zandkarimi, K. and Nasiri, Y., 2020. Variations of the trace fossil Zoophycos with respect to paleoenvironment and sequence stratigraphy in the Mississippian Mobarak Formation, northern Iran. *Palaeogeography, Palaeoclimatology, Palaeoecology*, 551, 109754.
 - Bayet-Goll, A., Geyer, G. and Daraei, M., 2018a. Tectonic and eustatic controls on the spatial distribution and stratigraphic architecture of late early Cambrian successions at the northern Gondwana margin: the siliciclastic-carbonate successions of the Lalun Formation in central Iran. *Marine and Petroleum Geology*, 98, 199-228.
 - Bayet-Goll, A., Shirezadeh-Esfahani, F., Daraei, M., Monaco, P., Sharafi, M. and Akbari Mohamadi, A., 2018b. Cyclostratigraphy across a Mississippian carbonate ramp in the Esfahan-Sirjan Basin, Iran: implications for the amplitudes and frequencies of sealevel fluctuations along the southern margin of the Paleotethys. *International Journal of Earth Sciences*, 107, 2233-2263.
 - Bayet-Goll, A., Myrow, P.M., Aceñolaza, G.F., Moussavi-Harami, R. and Mahboubi, A., 2016. Depositional controls on the ichnology of Paleozoic wave-dominated marine facies: new evidence from the Shirgesht Formation, central Iran. *Acta Geologica Sinica*, 90 (5), 1572-1597.
 - Bayet-Goll, A., Geyer, G., Wilmsen, M., Mahboubi, A. and MoussaviHarami, R., 2014. Facies architecture, depositional environments and stratigraphy of the Middle Cambrian Fasham and Deh-Sufiyan formations in the central Alborz. Iran. *Facies*, 60, 815-841.
 - Bond, D.P. and Grasby, S.E., 2017. On the causes of mass extinctions. *Palaeogeography, Palaeoclimatology, Palaeoecology*, 478, 3-29.
 - Carmichael, S.K., Waters, J.A., Königshof, P., Suttner, T.J. and Kido, E., 2019. Paleogeography and paleoenvironments of the Late Devonian Kellwasser event: A review of its sedimentological and geochemical expression. *Global and Planetary Change*, 183, 102984.
 - Carmichael, S.K., Waters, J.A., Batchelor, C.J., Coleman, D.M., Suttner, T.J., Kido, E. and Chadimová, L., 2016. Climate instability

- and tipping points in the Late Devonian: Detection of the Hangenberg Event in an open oceanic island arc in the Central Asian Orogenic Belt. *Gondwana Research*, 32, 213–231.
- Chang, C.Hu., W., Fu. Q., Cao. J., Wang, X. and Yao, S., 2016. Characterization of trace elements and carbon isotopes across the Ediacaran–Cambrian boundary in Anhui Province, South China: Implications for stratigraphy and paleoenvironment reconstruction. *Journal of Asian Earth Sciences*, 125, 58–70
 - Caplan, M.L. and Bustin, R.M., 1999. Devonian–Carboniferous Hangenberg mass extinction event, widespread organic-rich mudrock and anoxia: causes and consequences. *Palaeo*, 148, 187–207.
 - Coates, L. and MacEachern, J.A., 1999. The ichnological signature of wave-and river-dominated deltas: Dunvegan and Basal Belly River formations, West-Central Alberta, 29–46.
 - Collinson, J. D. and Reading, H. G., 1996. Sedimentary environments: processes, facies and stratigraphy. Alluv. Sediments. Blackwell Scientific Publication. Oxford, 37–82.
 - Dashtgard, S.E., MacEachern, J.A., Frey, S.E. and Gingras, M.K., 2012. Tidal effects on the shoreface: towards a conceptual framework. *Sediment. Geology*, 279, 42–61.
 - Dalrymple, R.W., Zaitlin, B.A. and Boyd, R., 1992. Estuarine facies models; conceptual basis and stratigraphic implications. *Journal of Sedimentary Research*, 62(6), 1130–1146.
 - Dott Jr, R. H. and Bourgeois, J., 1982. Hummocky stratification: significance of its variable bedding sequences. *Geological Society of America Bulletin*, 93(8), 663–680.
 - Dunham, R.J., 1962. Classification of carbonate rocks according to depositional texture. In Ham, W. E (Ed), Classification of carbonate rocks. American Association of Petroleum Geologists, Memoir, 1, 108–121.
 - Evans, J.E., Maurer, J.T. and Holm-Denoma, C.S., 2019. Recognition and significance of Upper Devonian fluvial, estuarine, and mixed siliciclastic–carbonate nearshore marine facies in the San Juan Mountains (southwestern Colorado, USA): Multiple incised valleys backfilled by lowstand and transgressive systems. *Geosphere*, 15, 1479–1507.
 - Flügel, E. and Munnecke, A., 2010. Microfacies of carbonate rocks: analysis, interpretation and application, 976, 2004. Berlin: Springer.
 - Flügel, P., 2004. Microfacies of Carbonate Rocks, Analysis, Interpretation and Application, Springer-Verlag Berlin Heidelberg, 976.
 - Fröhlich, S., Petitpierre, L., Redfern, J., Grech, P., Bodin, S. and Lang, S., 2010. Sedimentological and sequence stratigraphic analysis of Carboniferous deposits in western Libya: recording the sedimentary response of the northern Gondwana margin to climate and sea-level changes. *Journal of African Earth Sciences*, 57(4), 279–296.
 - Folk, R.L., 1980. Petrology of Sedimentary Rocks. Hemphill Publishing Company, Austin, Texas, 182.
 - Guo, D., Shibuya, R., Akiba, C., Saji, S., Kondo, T. and Nakamura, J., 2016. Active sites of nitrogen-doped carbon materials for oxygen reduction reaction clarified using model catalysts. *Science*, 351(6271), 361–365.
 - House, M.R., 2002. Strength, timing, setting and cause of mid-Palaeozoic extinctions. *Palaeogeography, Palaeoclimatology, Palaeoecology*, 181(1–3), 5–25.
 - Holbrook, J.M. and Bhattacharya, J., 2012. What happened to my marine reservoir? Implications of falling stage and lowstand fluvial sediment storage during “sequence-boundary” scour for sand starvation of coastal marine reservoirs. In Annual Meeting. *Earth-Science Reviews*, 113(3–4), 271–302.

- Jones, B. and Manning, D. A. 1994. Comparison of geochemical indices used for the interpretation of palaeoredox conditions in ancient mudstones. *Chemical Geology*, 111(1-4), 111-129.
- Kaiser, S.I., Aretz, M. and Becker, R.T., 2016. The global Hangenberg Crisis (Devonian-Carboniferous transition): review of a first-order mass extinction. Geological Society, London, Special Publications, 423(1), 387-437.
- Kaiser, S.I., Becker, R.T., Steuber, T. and Aboussalam, S.Z., 2011. Climate-controlled mass extinctions, facies, and sea-level changes around the Devonian-Carboniferous boundary in the eastern Anti-Atlas (SE Morocco). *Palaeogeography, Palaeoclimatology, Palaeoecology*, 310(3-4), 340-364.
- Kaiser, S. I., Steuber, T., and Becker, R. T., 2008. Environmental change during the Late Famennian and Early Tournaisian (Late Devonian-Early Carboniferous): implications from stable isotopes and conodont biofacies in southern Europe. *Geological Journal*, 43(2-3), 241-260.
- Kumpan, T., Kalvoda, J., Bábek, O., Holá, M. and Kanický, V., 2019. Tracing paleoredox conditions across the Devonian-Carboniferous boundary event: A case study from carbonate-dominated settings of Belgium, the Czech Republic, and northern France. *Sedimentary Geology*, 380, 143-157.
- Li, B., Zhuang, X., Liu, X., Wu, C., Zhou, J. and Ma, X., 2016. Mineralogical and geochemical composition of Middle Permian Lucaogou Formation in the southern Junggar Basin, China: implications for paleoenvironment, provenance, and tectonic setting. *Arabian Journal of Geosciences*, 9(3), 1-16.
- Mount, J.F., 1984. Mixing of siliciclastic and carbonate sediments in shallow shelf environments. *Geology*, 12, 432-435.
- Marynowski, L. and Filipiak, P., 2007. Water column euxinia and wildfire evidence during deposition of the Upper Famennian Hangenberg event horizon from the Holy Cross Mountains (central Poland). *Geological Magazine*, 144(3), 569-595.
- MacEachern, J.A., Pemberton, S.G., Gingras, M.K. and Bann, K.L., 2007. The ichnofacies paradigm: a fifty-year retrospective, in: *Trace Fossils*. Elsevier, 52-77.
- MacEachern, J. A. and Pemberton, S. G., 1992. Ichnologic aspects of Cretaceous shoreface successions and shoreface variability in the Western Interior Seaway of North America. In: *Application of Ichnology to Petroleum Exploration, A Core Workshop* (Ed. S.G. Pemberton), SEPM Core Work-shop, 17, 57-84.
- Nagarajan, R., Madhavaraju, J., Nagendra, R., Armstrong-Altrin, J.S. and Moutte, J., 2007. Geochemistry of Neoproterozoic shales of the Rabanalli Formation, Bhima Basin, Northern Karnataka, southern India: implications for provenance and paleoredox conditions. *Revista mexicana de ciencias geológicas*, 24(2), 150-160.
- Och, L.M., 2011. Biogeochemical Cycling Through the Neoproterozoic-Cambrian Transition in China: An Integrated Study of Redox-sensitive Elements Doctoral Thesis. University College, London.
- Paproth, E., Feist, R. and Flajs, G., 1991. Decision on the Devonian-Carboniferous boundary stratotype. *Episodes Journal of International Geoscience*, 14(4), 331-336.
- Sharafi, M., Longhitano, S.G., Mahboubi, A., Moussavi-Harami, R. and Mosaddegh, H., 2016. March. Sedimentology of a transgressive mixed-energy (wave/tide-dominated) estuary, Upper Devonian Geirud Formation (Alborz Basin, northern Iran). In *Contributions to Modern and Ancient Tidal Sedimentology*. Proceedings of the Tidalites 2012. Conference, 255-286.
- Sharafi, M., Mahboubi, A., Moussavi-

- Harami, R., Mosaddegh, H. and Gharaie, M. H.M., 2014. Trace fossils analysis of fluvial to open marine transitional sediments: Example from the Upper Devonian (Geirud Formation), Central Alborz, Iran. *Palaeoworld*, 23, 50–68.
- Sharafi, M., Mahboubi, A., Moussavi-Harami, R., Ashuri, M. and Rahimi, B., 2013. Sequence stratigraphic significance of sedimentary cycles and shell concentrations in the Aitamir Formation (Albian-Cenomanian), Kopet-Dagh Basin, northeastern Iran. *Journal of Asian Earth Sciences*, 67, 171–186.
 - Sharafi, M., Ashuri, M., Mahboubi, A. and Moussavi-Harami, R., 2012. Stratigraphic application of Thalassinoides ichnofabric in delineating sequence stratigraphic surfaces (Mid-Cretaceous), Kopet-Dagh Basin, northeastern Iran. *Palaeoworld* 21, 202–216.
 - Sharafi, M., Mahboubi, A., Moussavi, H. R. and Najafi, M. 2011. Application of shell beds in the sequence stratigraphic beds in the sequence stratigraphic analysis of the Aitamir Formation in the sheikh and the bibahreh synclines, west Kopet-Dagh, 31–47
 - Schwarz, E., Veiga, G.D., Spalletti, L.A. and Massaferro, J.L., 2011. The transgressive infill of an inherited-valley system: The Springhill Formation (lower Cretaceous) in southern Austral Basin, Argentina. *Marine and Petroleum Geology*, 28(6), 1218–1241.
 - Stow, D.A.V., 2005. *Sedimentary Rocks in the Field: A Color Guide*. Elsevier Academic Press, Burlington, MA, 320.
 - Stocklin, J., 1968. Structural history and tectonics of Iran: a review. *AAPG Bulletin*. 52(7), 1229–1258.
 - Sepkoski, J.J., 1996. Patterns of Phanerozoic extinction: a perspective from global data bases. In *Global events and event stratigraphy in the Phanerozoic*, 35–51. Springer, Berlin, Heidelberg.
 - Seyedmehdi, Z., George, A.D. and Tucker, M.E., 2016. Sequence development of a latest Devonian-Tournaisean distally-steepened mixed carbonate-siliciclastic ramp, Canning Basin, Australia. *Sedimentary Geology*, 333, 164–183.
 - Taylor, S.R. and McLennan, S., 1985. *The Continental Crust: Its Composition and Evolution*. Blackwell, Oxford, 312
 - Tribouillard, N., Algeo, T.J., Lyons, T. and Riboulleau, A., 2006. Trace metals as paleoredox and paleoproductivity proxies: an update. *Chemical Geology*, 232(1–2), 12–32.
 - Tucker, M.E., 2001. *Sedimentary Petrology: An Introduction to the Origin of Sedimentary Rocks*. Wiley, 262.
 - Wang, S., Zou, C., Dong, D., Wang, Y., Li, X., Huang, J. and Guan, Q., 2015. Multiple controls on the paleoenvironment of the Early Cambrian marine black shales in the Sichuan Basin, SW China: Geochemical and organic carbon isotopic evidence. *Marine and Petroleum Geology*, 66, 660–672.
 - Warren, J., 2000. Dolomite: occurrence, evolution and economically important associations. *Earth-Science Reviews*, 52(1–3), 1–81.
 - Walliser, O.H., 1996. Global events in the Devonian and Carboniferous. In *Global events and event stratigraphy in the Phanerozoic*. Springer, Berlin, Heidelberg, 225–250.
 - Zand-Moghadam, H., Moussavi-Harami, R. and Mahboubi, A., 2014. Sequence stratigraphy of the Early–Middle Devonian succession (Padeha Formation) in Tabas Block, East–Central Iran: Implication for mixed tidal flat deposits. *Palaeoworld*, 23, 31–49.